

بررسی اثر دمای بستر و اپوکسی در هنگام نصب بر روی مقاومت چسبندگی ورق‌های GFRP با استفاده از دو آزمون جدا کردن با کشش (Pull-off) و با پیچش (Twist-off)*

مقاله پژوهشی

پیمان ایمانی جاجرمی^(۱) محمد رضا توکلی زاده^(۲) عباس یوسفی^(۳)

چکیده استفاده از ورق‌های پلیمر مسلح با الیاف (FRP) به دلیل مزایای بسیار زیاد آن‌ها به عنوان یکی از پرکاربردترین مصالح به سازی سازه‌های بتنی شناخته شده است. هدف از انجام این پژوهش، بررسی اثر دمای سطح بستر و همچنین اپوکسی در بازه ۵ تا ۸۰ درجه سانتی‌گراد بر روی مقاومت چسبندگی ورق‌های FRP با الیاف شیشه‌ای به بستر پایه سیمانی است. به همین منظور، از دو آزمون نیمه مخرب جدا کردن تحت کشش (Pull-off Test; POT) و جدا کردن تحت پیچش (Twist-off Test; TOT) بهره گرفته شده است. نتیجه‌های این پژوهش براساس تحلیل و بررسی داده‌های ۲۸۸ آزمون از ۳۲ نمونه ساخته شده گزارش شده است. به منظور درک بهتر اثر دمای سطح بستر و چسب اپوکسی و همچنین برهم‌کنش آن‌ها، بر روی مقاومت چسبندگی ورق‌های GFRP، نتایج به دست آمده با استفاده از نرم‌افزار SPSS مورد تحلیل واریانس نیز (ANOVA) قرار گرفت. براساس این پژوهش، بیشترین مقاومت چسبندگی مربوط به نمونه‌هایی با دمای سطحی و اپوکسی ۵۰ درجه سانتی‌گراد بود که نسبت به نمونه مبنا (دمای سطحی و اپوکسی ۲۵ درجه سانتی‌گراد)، برای روش POT و TOT به ترتیب، ۳۶ و ۲۴ درصد افزایش را نشان داد. همچنین، نتیجه‌ها نشان داد، اثر منفی دمای سطح بستر را می‌توان تا حدی با افزایش دمای اپوکسی جبران کرد. افزون بر این، تحلیل درون‌یابی غیرخطی انجام شده بر روی نتیجه‌ها حاکی از وجود یک رابطه نمایی بین مقاومت‌های چسبندگی به دست آمده از دو روش POT و TOT بود.

واژه‌های کلیدی مقاومت چسبندگی، دمای سطح بستر، دمای اپوکسی، آزمون جدا کردن با کشش (Test Pull-off)، و آزمون کشش با پیچش (Test Twist-off)، ورق GFRP.

مقدمه

ترمیم و به سازی سازه‌های بتنی از دیرباز به عنوان یکی از چالش‌های مهندسان عمران شناخته شده است. از این رو روش‌های مختلفی از جمله استفاده از غلاف‌های بتن آرمه یا فولادی و پیش‌تندگی به منظور بهبود رفتار سازه‌ها ارائه شده است. چسباندن ورق‌های پلیمر مسلح با الیاف (FRP) به سطح کششی بتن و یا استفاده از آن به عنوان دورپیچ ستون‌ها یکی از روش‌های نوین و پرکاربرد در مقاوم سازی اعضای بتن آرمه است. از مهم‌ترین عواملی که در تقویت سازه‌های بتن آرمه تقویت شده با ورق‌های FRP باید بدان توجه کرد، بحث مقاومت چسبندگی و جلوگیری از جداشدگی زودهنگام ورق از بستر است [1,2].

در کاربردهایی که از چسب به عنوان و سیله‌ای برای ایجاد پیوستگی بین ورق و بستر استفاده می‌شود، تنش‌ها از طریق دو سازوکار مختلف به لایه تقویت کننده منتقل می‌شوند. این دو سازوکار عبارتند از چسبندگی شیمیایی و قفل‌شوندگی مکانیکی

[3,4]. چسبندگی شیمیایی، نتیجه واکنش‌های شیمیایی بین چسب، الیاف و سطح بتن است [5,6]، درحالی‌که قفل‌شوندگی مکانیکی، حاصل نفوذ چسب به درون منافذ سطح بتن و توانایی ترکندگی سطح بستر توسط چسب است [7]. به طور کلی از سه نوع مصالح FRP برای مقاوم سازی سازه‌های بتن آرمه استفاده می‌شود که شامل ورق‌های با الیاف کربن (CFRP)، الیاف شیشه (GFRP) و الیاف آرامید (AFRP) می‌باشد [8]. ورق‌های GFRP به دلیل در دسترس بودن و هزینه پایین تولید در مقاوم سازی سازه‌های بتن آرمه در محیط‌های خشک کاربرد بسیار زیادی دارند. برای نمونه، چوته و آگراوال [9] نشان دادند، ورق‌های GFRP ظرفیت باربری را بین ۲۲ تا ۴۳ درصد افزایش می‌دهند. رفتار ستون‌های بتنی تقویت شده با ورق‌های GFRP توسط ژانگ و همکاران [10] نیز مورد بررسی قرار گرفت و نتایج بسیار مطلوبی گزارش شد.

* تاریخ دریافت مقاله ۱۴۰۰/۱۰/۱۵ و تاریخ پذیرش آن ۱۴۰۰/۱۲/۸ می‌باشد.

(۱) دانشجوی دکتری سازه، دانشکده مهندسی، دانشگاه فردوسی مشهد.

(۲) نویسنده مسئول، استادیار، دانشکده مهندسی، دانشگاه فردوسی مشهد.

(۳) مدیر عامل مؤسسه تحقیقاتی پرتاوس، شرکت لعاب مشهد.

نتیجه‌ها نشان داد که اثر دو عامل دما و رطوبت سطحی بر روی میزان مقاومت چسبندگی بیشتر از مقاومت فشاری بستر است. مایرز و همکاران [21] به منظور بررسی اثر شرایط محیطی بر روی مقاومت چسبندگی ورق‌های CFRP از آزمایش‌های جدا کردن با کشش (Pull-off)، جدا کردن با پیچش (Twist-off) و خمش (Flexural) استفاده کردند. نتیجه‌ها نشان داد که ورق‌های FRP را می‌توان در بازه دمایی ۴ تا ۴۹ درجه سانتی‌گراد بدون نگرانی نصب کرد. اثر دماهای زیر صفر درجه سانتی‌گراد روی مقاومت چسبندگی FRP نیز مورد بررسی قرار گرفته است [22,23]. بررسی پژوهش‌های پیشین نشان می‌دهد که مطالعه جامعی در زمینه بررسی اثر دمای سطح بستر بتن و اپوکسی در هنگام نصب انجام نشده است.

باتوجه به موقعیت جغرافیایی و شرایط فصلی گوناگون پروژه‌های مقام‌سازی، عملکرد سامانه‌های FRP می‌تواند تحت تأثیر زیادی قرار گیرد. هدف از انجام این پژوهش بررسی اثر دمای سطح بستر و اپوکسی بر روی مقاومت چسبندگی ورق‌های GFRP نصب‌شده بر روی بسترهای پایه‌سیمانی بوده است. به همین منظور، ۱۴۴ آزمون جدا کردن با کشش (Pull-off Test:) و ۱۴۴ آزمون جدا کردن با پیچش (Twist-off Test:) و ۳۲ آزمون جدا کردن با پیچش (TOT) بر روی بستر پایه‌سیمانی انجام شد. به منظور بررسی اثر دمای سطح بستر و چسب اپوکسی بر روی مقاومت چسبندگی، بستر و اپوکسی پیش از عملیات نصب ورق‌های GFRP در چهار دمای مختلف ۵، ۲۵، ۵۰ و ۸۰ درجه سانتی‌گراد قرار گرفتند.

برنامه آزمایشگاهی

مصالص مصرفی

سیمان مصرفی در این پژوهش از نوع سیمان پرتلند تپ ۱ می‌باشد که نمودار دانه‌بندی ذرات (PSD) آن و ترکیبات شیمیایی آن به ترتیب، در شکل (۱) و جدول (۱) آمده است.

ماسه‌ای که در این پژوهش برای ساخت بستر پایه‌سیمانی استفاده شد، ماسه رودخانه‌ای با اندازه بزرگ‌ترین دانه ۴/۷۵ میلی‌متر بود که نمودار دانه‌بندی آن در شکل (۲) آورده شده است.

در این پژوهش، ۳۲ نمونه بستر پایه‌سیمانی به ابعاد ۶۰×۳۰۰×۳۰۰ میلی‌متر مکعب براساس طرح اختلاط جدول (۲) ساخته شد. مقاومت فشاری، ضریب کشسانی، روانی (میز جریان)

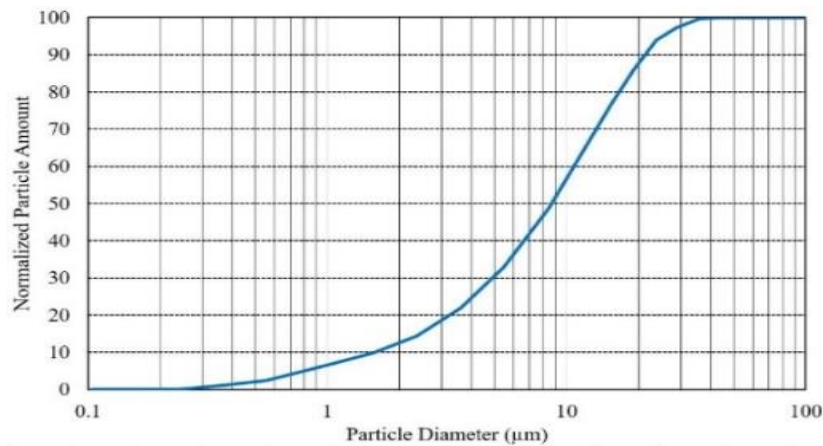
عوامل گوناگونی در مقاومت چسبندگی و همچنین پیوستگی سطح تماس بین بستر بتنی و الیاف تأثیرگذار می‌باشد که می‌توان به عوامل محیطی، فیزیکی و شیمیایی اشاره کرد. در این میان، دمای سطح بتن و اپوکسی در زمان عملیات نصب از عوامل بسیار مؤثر در چسبندگی ورق‌های FRP به‌شمار می‌آید. براساس پیشنهاد کمیته ۴۴۰ مؤسسه بتن آمریکا [11]، بیشینه دما در زمان کاربرد مصالح FRP به دمای انتقال شیشه‌ای اپوکسی (T_g) محدود می‌شود. یادآور می‌شود، T_g دمایی است که در آن دما اپوکسی از حالت صلب به حالت انعطاف‌پذیر و خمیری تغییر حالت می‌دهد. شایان ذکر است، محدودیت‌های محافظه‌کارانه‌تری درمورد حداکثر دمای بهره‌برداری در کاربردهای مصالح FRP توسط انجمن بزرگراه‌های ایالتی و مدیران حمل‌ونقل آمریکا [12] در نظر گرفته شده است. طبق بررسی‌های انجام گرفته‌شده توسط انجمن بتن اروپا [13]، T_g اپوکسی مصرفی در ساخت FRP نباید کمتر از ۴۵ درجه سانتی‌گراد باشد. از سویی دیگر آیلو و همکاران [14] توصیه کردند که T_g اپوکسی مورد استفاده، باید ۵ تا ۱۰ درجه سانتی‌گراد بیشتر از بیشینه دمای بهره‌برداری باشد.

خطر نشان می‌سازد، در دماهای بالاتر از T_g ، ویژگی‌های مکانیکی اپوکسی مانند مقاومت و سختی به شدت کاهش می‌یابد. با افزایش دما و گذر از T_g ، ناگهان انرژی جنبشی مولکول‌های اپوکسی افزایش می‌یابد و روند خطی بودن تغییرات انرژی جنبشی بر حسب افزایش دما بر هم می‌خورد و با شیب بیشتری پیش می‌رود. با افزایش جنبش مولکول‌ها، نیروی جاذبه بین مولکولی کاهش می‌یابد و اپوکسی شکننده‌تر می‌شود [15].

بررسی‌های نوین و همکاران [16] نشان داد که با افزایش دما به بیشتر از T_g ، ظرفیت باربری به شدت کاهش پیدا می‌کند. لئون و همکاران [17] از آزمون کشش دو طرفه (Double-Lap Shear) به منظور تعیین اثر دماهای بالا بر روی چسبندگی FRP استفاده کردند. نتیجه‌های پژوهش آن‌ها، کاهش تنش قابل تحمل سامانه را در دماهای بالاتر از T_g را نشان داد. آن‌ها بیشترین مقاومت چسبندگی را در دمای ۵۰ درجه سانتی‌گراد گزارش کردند. نتیجه‌های آن‌ها هم‌خوان با یافته‌های بلونتروک و همکاران [18] و عطاری و توکلی‌زاده [19] بود. اثر مقاومت فشاری، دما و رطوبت سطحی بستر بر روی مقاومت چسبندگی ورق‌های FRP توسط ایمانی جاجرمی و همکاران [20] مورد بررسی قرار گرفت.

پژوهش به کار گرفته شده است و همچنین، دمای T_g اپوکسی براساس گزارش شرکت سازنده، ۴۵ درجه سانتی گراد بود.

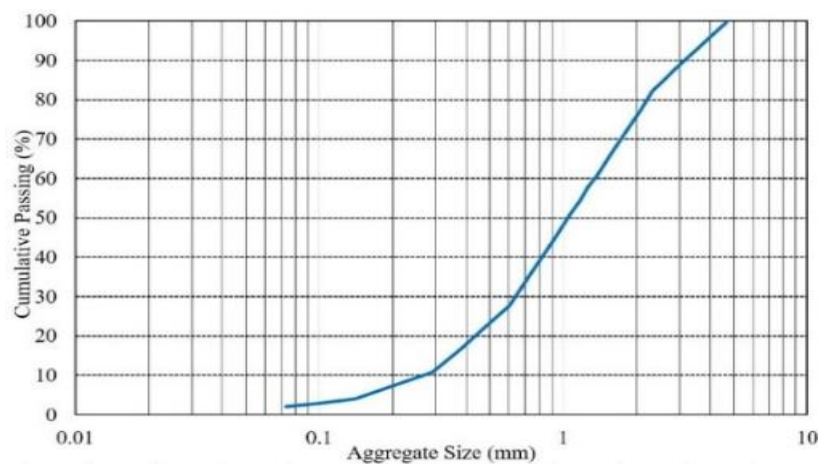
و تخلخل این نمونه ها در جدول (۳) آورده شده است. ویژگی های الیاف و اپوکسی مصرفی در جدول (۴) نشان داده شده است. خاطرنشان می سازد، پارچه الیافی شیشه ای تک سویه در این



شکل ۱ نمودار دانه بندی ذرات سیمان مصرفی

جدول ۱ آنالیز شیمیایی سیمان پرتلند تیپ یک مصرفی

نوع اکسید	SiO ₂	Al ₂ O ₃	Fe ₂ O ₃	CaO	MgO	SO ₃	Na ₂ O	K ₂ O	Other
میزان (%)	۲۰/۹	۴/۵	۳/۸	۶۳/۵	۲/۷	۲/۰	۰/۵	۰/۴۵	۱/۶۵



شکل ۲ نمودار دانه بندی ماسه مصرفی

جدول ۲ طرح اختلاط بستر پایه سیمانی تهیه شده

نسبت آب به سیمان (W/C)	نسبت ماسه به سیمان (S/C)	سیمان (kg/m ³)	ماسه (kg/m ³)	آب (kg/m ³)
۰/۵۵	۲/۷۵	۵۵۹/۰۰	۱۵۳۷/۲۵	۳۰۷/۴۵

جدول ۳ ویژگی های مکانیکی بستر پایه سیمانی تهیه شده

مقاومت فشاری (MPa)			ضریب کشسانی (MPa)	روانی (%)
۳ روزه	۷ روزه	۲۸ روزه	۳۳۱	۱۰۸
۲۰/۸۱	۲۳/۰۷	۳۳/۷۵		

جدول ۴ ویژگی های مکانیکی پارچه الیافی و اپوکسی مصرفی

مصلح	مقاومت کششی (MPa)	ضریب کشسانی (GPa)	افزایش طول (%)
الیاف شیشه	۲۲۰۰/۰۰	۷۰/۰۰	۳/۰۰
اپوکسی	۵۵/۰۰	۲/۵۰	۲/۶۰

شرایط دمایی

مقاومت چسبندگی ورق های GFRP در دو حالت مختلف دمایی زیر مورد بررسی قرار گرفت:

۱. دماهای گوناگون سطح بستر در هنگام نصب.

۲. دماهای گوناگون اپوکسی در هنگام نصب.

خاطر نشان می سازد، نمونه ای که در آن، هر دو دمای سطح بستر و اپوکسی در هنگام نصب ۲۵ درجه سانتی گراد بود، به عنوان نمونه مبنا تهیه و نام گذاری شد. برای شرایط دمایی حالت (۱)، نخست، نمونه ها قبل از نصب ورق GFRP به مدت ۵ روز درون سردخانه یا گرمخانه قرار گرفتند تا به دمای سطحی مورد نظر و به تعادل برسند. یادآور می شود، دماهای مورد بررسی ۵، ۲۵، ۵۰ و ۸۰ درجه سانتی گراد بود. برای حالت (۲)، اجزای اپوکسی (رزین و سخت کننده) قبل از مصرف و اعمال بر روی سطح بستر پایه سیمانی به مدت ۲۰ دقیقه در دمای مورد نظر قرار می گرفت. در این حالت، مطابق شرایط دمایی (۱)، دماهای مورد بررسی ۵، ۲۵، ۵۰ و ۸۰ درجه سانتی گراد بود. شایان ذکر است، دمای ۵۰ و ۸۰ درجه سانتی گراد به منظور بررسی اثر دماهای نزدیک و بالاتر از T_g اپوکسی در نظر گرفته شد.

آزمون جدا کردن با کشش (POT)

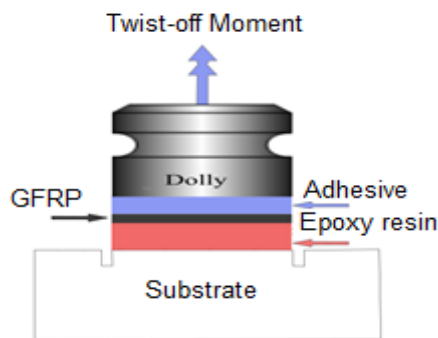
POT، نخستین بار، در دانشگاه کووین و به منظور تعیین مقاومت سطحی بتن انجام شد [24]. با گسترش کاربرد مصالح FRP و نیاز به آگاهی یافتن از کارایی این روش ها، کاربرد آن به منظور بررسی

و ارزیابی مقاومت چسبندگی سیستم های FRP پیشنهاد شد [25]. لازم به ذکر است، از POT به منظور ارزیابی گونه ۱ شکست بهره جویی می شود. در این روش یک پولک فولادی یا آلومینیومی با استفاده از یک چسب مناسب و با مقاومت بالا به سطح بتن و یا FRP چسبانده می شود و سپس نیروی کششی به آرامی و تا زمان گسیختگی اعمال می شود [26,27]. این روش به عنوان یک آزمون نیمه مخرب شناخته می شود، به طوری که پس از انجام آزمایش، سطح مورد نظر به راحتی قابل تعمیر است. شایان ذکر است، این روش متأثر از عوامل مختلفی است که می توان به مشخصات مغزه گیری، ابعاد و جنس پولک و شرایط بارگذاری اشاره کرد [28]. براساس دستورالعمل های موجود، عمق مغزه باید بین ۶ تا ۱۲ میلی متر باشد [29] که در این پژوهش شیارهایی به عمق ۶ میلی متر ایجاد شد. هم چنین، از پولک های فولادی با قطر ۴۵ میلی متر استفاده شد. مقاومت چسبندگی POT با استفاده از رابطه (۱) به دست می آید [27].

$$f_p = \frac{4F_p}{\pi D^2} \quad (1)$$

در این رابطه، f_p ، F_p و D به ترتیب، مقاومت POT، حداکثر نیروی کششی ثبت شده و قطر پولک است. شکل (۳) طرحواره ای از چیدمان POT و نحوه اجرای آن را نشان می دهد.

شده است. شکل (۵) محل نصب پولک‌های مورد استفاده در دو آزمون POT و TOT را بر روی سطح ورق GFRP نصب شده روی بستر پایه سیمانی را نشان می‌دهد. همان‌طور که در این شکل مشخص است، نتیجه‌های مقاومت چسبندگی POT و TOT براساس میانگین ۹ آزمون ارائه می‌شود. این در حالی است که طبق استاندارد ASTM D4541 [25]، سه آزمون برای یافتن میانگین مقاومت چسبندگی POT کفایت می‌کند.

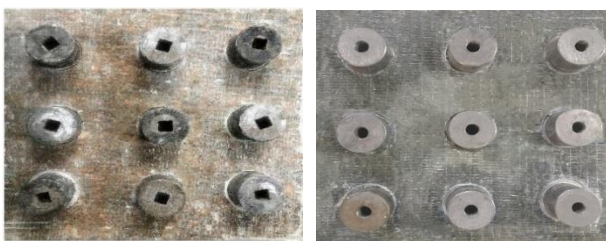


(الف)



(ب)

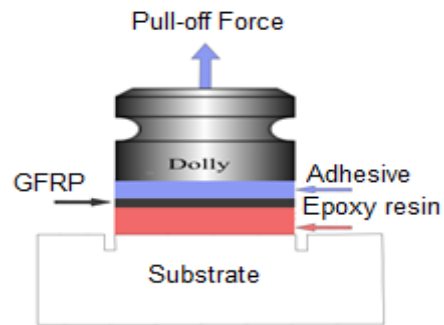
شکل ۴ چیدمان آزمایش TOT: الف) طرح‌واره و ب) نحوه اجرای آزمون



(الف)

(ب)

شکل ۵ محل نصب پولک‌های مورد استفاده در آزمون‌ها: الف) POT و ب) TOT



(الف)



(ب)

شکل ۳ چیدمان آزمایش POT: الف) طرح‌واره و ب) نحوه اجرای آزمون

آزمون جدا کردن با پیچش (TOT)

یکی دیگر از آزمون‌هایی که برای بررسی مقاومت چسبندگی ورق‌های FRP پیشنهاد شده است، TOT است که قادر به ارزیابی گونه ۲- شکست است [30]. روش انجام این آزمون مشابه POT است با این تفاوت که به جای اعمال نیروی کششی عمود بر سطح از گشتاور پیچشی در سطح برای ارزیابی مقاومت چسبندگی ورق‌های FRP استفاده می‌شود. جذابیت این روش در دقت، سرعت انجام، سادگی، خرابی جزئی و هزینه اندک انجام آن است که آن را در مقایسه با سایر روش‌های ارزیابی مقاومت چسبندگی می‌تواند متمایز سازد. باید دانست، مشابه POT، این آزمون را می‌توان بر روی سطوح افقی و قائم انجام داد. مانند POT، عمق شیار و قطر پولک فولادی به ترتیب ۶ و ۴۵ میلی‌متر انتخاب شد. مقاومت TOT با استفاده از رابطه (۲) به دست می‌آید [30].

$$f_t = \frac{16T}{\pi D^3} \quad (2)$$

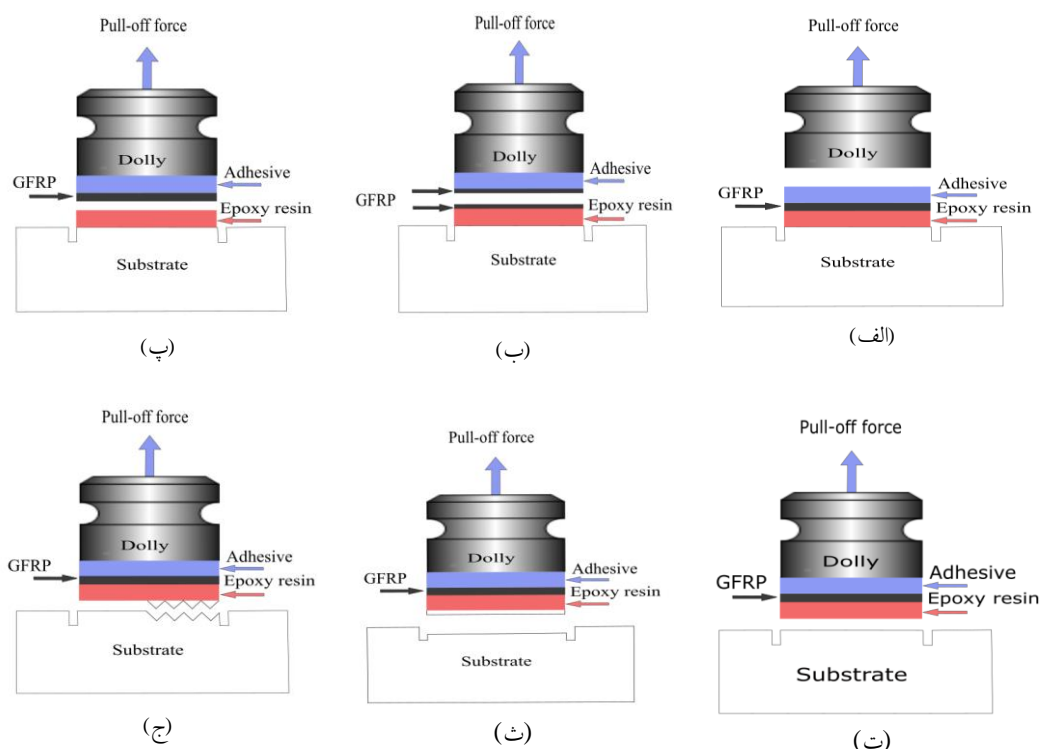
در این رابطه، f_t ، T و D به ترتیب، مقاومت TOT، حداکثر گشتاور پیچشی ثبت شده در طول آزمون و قطر پولک است. در شکل (۴) نمایی از TOT به همراه نحوه اجرای این آزمون آورده

گونه‌های گسیختگی

طبق استاندارد ASTM D7522 [23]، در آزمون POT، احتمال رخداد ۶ شکل گونه گسیختگی وجود دارد که در شکل (۶) آمده است.

شکست نوع A، که در سطح تماس بین پولک و FRP رخ می‌دهد، بیانگر استفاده از چسب نامناسب برای اتصال پولک به سطح بستر است. لازم به ذکر است، مقاومت به دست آمده در این گونه شکست قابل قبول نیست و آزمون باید دوباره و در نقطه‌ای دیگر تکرار شود. شکست نوع B، نشانگر شکست بین لایه‌ای FRP است. این شکست می‌تواند ناشی از کیفیت پایین فرآیند تولید ورق FRP باشد. شکست در سطح تماس اپوکسی و ورق FRP نوع دیگر شکست می‌باشد و با حرف C نشان داده شده است. نوع دیگر گونه شکست که در سطح تماس بین اپوکسی و بستر پایه‌سیمانی رخ می‌دهد و به شکست سطح تماس اشاره دارد با حرف E نشان داده می‌شود. این نوع شکست

می‌تواند ناشی از انتخاب نامناسب چسب، ترکیب ناقص چسب و عمل‌آوری نامناسب آن و همچنین کاستی‌های اجرایی باشد. پژوهش‌های گذشته نشان می‌دهد که وجود رطوبت در سطح تماس بین اپوکسی و بستر پایه‌سیمانی و همچنین تغییرات دمایی از عوامل ایجاد چنین گونه شکستی می‌باشد [31,32]. شکست پیوستگی بستر پایه‌سیمانی، گونه G، مطلوب‌ترین نوع گونه شکست است و در این حالت می‌توان ادعا کرد که FRP نقش مقاومت و به‌سازی خود را به‌خوبی انجام خواهد داد. شکست نوع G، بیانگر این موضوع است که مقاومت چسبندگی FRP از مقاومت بستر بیشتر است و بستر سیمانی ضعیف‌ترین عضو این سامانه است. شکست نوع F، معرف حالت شکست ترکیبی است که در آن بخشی از بستر پایه‌سیمانی و بخشی از چسب سطح تماس قله‌کن می‌شود. به عبارت دیگر، این نوع شکست تلفیقی از گونه‌های شکست E و G است. به‌نظر می‌رسد که گونه‌های شکست مشابهی را می‌توان برای TOT در نظر گرفت.



شکل ۶ انواع گونه‌های گسیختگی براساس ASTM-D7522-15 [۲۰]: الف) شکست نوع A، ب) شکست نوع B، پ) شکست نوع C، ت) شکست نوع E، ث) شکست نوع G، ج) شکست نوع F

تجزیه و تحلیل آماری

در پژوهش حاضر به منظور بررسی اثر متغیرهای مستقل (دمای سطح بستر و چسب اپوکسی) بر متغیرهای وابسته (مقاومت چسبندگی POT و TOT) از تحلیل آماری استفاده شد. به همین منظور، آزمون تحلیل واریانس (ANOVA) با استفاده از نرم افزار SPSS نسخه ۲۶ انجام شد. تحلیل واریانس از آن دسته روش های آماری است که می تواند اختلاف بین گروه ها یا دسته ها را بررسی کند. اساس این روش، تفکیک پراکندگی داده ها به چند بخش است. در این آزمون فرضیات زیر مورد بررسی قرار می گیرد:

۱. فرض صفر (H_0): میانگین متغیر در گروه های آماری برابر است.
 ۲. فرض مقابل صفر (H_1): حداقل دو گروه آماری وجود دارد که میانگین آن ها با یکدیگر برابر نیست.
- لازم به ذکر است، چنانچه سطح معناداری این آزمون از مقدار خطای ۵ درصد کمتر باشد، فرض صفر رد و در غیر این صورت فرض صفر تأیید می گردد.

نتیجه ها

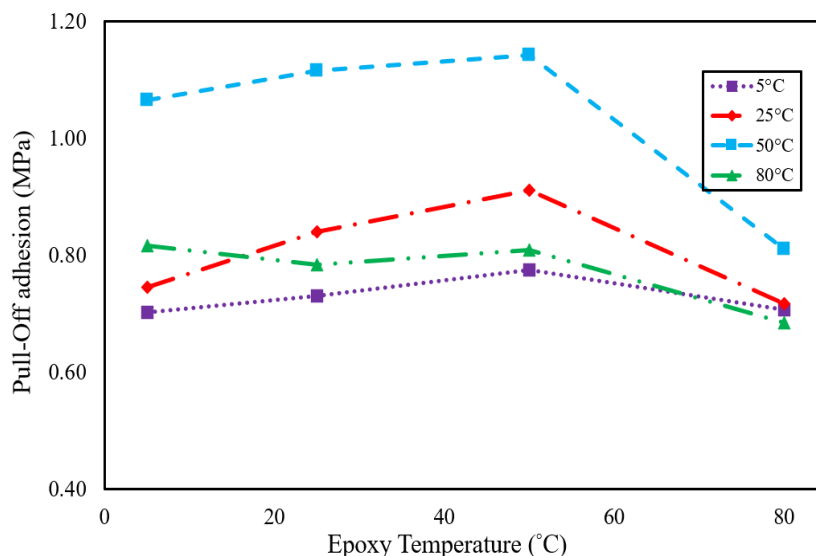
مقاومت چسبندگی POT

نتیجه های POT در جدول (۵) آمده است. یادآور می شود، نتیجه ها براساس میانگین ۹ آزمون گزارش شده است. در این جدول، مقادیر میانگین مقاومت چسبندگی POT، انحراف معیار و ضریب تغییرات به ترتیب، با \bar{f}_p ، σ و C_v نشان داده شده است. اسامی نمونه ها با دو حرف X-Y نشان داده شده است که در آن X بیانگر دمای سطح بستر و Y بیانگر دمای اپوکسی در هنگام نصب می باشد. به عنوان مثال نمونه ای که دارای دمای سطح ۵ و دمای اپوکسی ۵۰ درجه سانتی گراد است، با نماد ۵-۵۰ نشان داده شده است. براساس نتیجه های نشان داده شده در جدول (۵)، مقاومت چسبندگی نمونه مبنا (نمونه ۲۵-۲۵) ۰/۸۴ مگاپاسکال است. نتیجه ها نشان می دهد که با کاهش دمای سطحی بستر از ۲۵ درجه سانتی گراد، مقاومت چسبندگی کاهش می یابد. با این وجود، افزایش دمای اپوکسی تا حدی می تواند میزان این افت مقاومت را کاهش دهد. برای نمونه ۵-۲۵ افت ۱۳ درصدی مقاومت POT دیده می شود. این در حالی است که با افزایش دمای اپوکسی به ۵۰ درجه سانتی گراد (۵۰-۵۰)، مقاومت

چسبندگی ۸ درصد افت را تجربه کرده است. دلیل این میزان افزایش مقاومت، نسبت به حالت قبل را می توان بهبود ویژگی های مکانیکی، T_g و همچنین، درجه شبکه بندی اپوکسی در دمای نزدیک به T_g اپوکسی دانست. باتوجه به جدول (۵)، بیشترین مقاومت چسبندگی POT مربوط به نمونه ۵۰-۵۰ است که حدود ۳۶ درصد در مقایسه با نمونه مبنا مقاومت بیشتری از خود نشان می دهد. این مشاهده با نتیجه های کارباس و همکاران [33] همخوانی دارد. آن ها نشان دادند که دمای عمل آوری بین ۴۰ تا ۶۰ درجه سانتی گراد، موجب افزایش مقاومت، سختی و سایر خصوصیات مکانیکی اپوکسی می شود. لازم به ذکر است، با افزایش دمای سطح بستر و یا اپوکسی به فراتر از T_g ، مقاومت چسبندگی و ویژگی های مکانیکی چسب به شدت کاهش می یابد. همچنین، برای نمونه های با دمای سطحی ۸۰ درجه سانتی گراد، کاهش ۳ تا ۱۹ درصدی در مقاومت چسبندگی مشاهده می شود. افزون بر این، در دماهای بالا به دلیل اختلاف انبساط دمایی مصالح به کار گرفته شده در سامانه تقویتی (بستر پایه سیمانی، پارچه الیافی و اپوکسی)، می توان انتظار تنش های مخرب را داشت که در میزان مقاومت چسبندگی تأثیرگذار هستند.

جدول ۵ نتیجه های POT

گروه	\bar{f}_p (MPa)	σ (MPa)	C_v (%)
۵-۵	۰/۷۰	۸/۰۲	۰/۱۳
۵-۲۵	۰/۷۳	۲۶/۸۴	۰/۲۱
۵-۵۰	۰/۷۸	۲۳/۵۶	۰/۱۸
۵-۸۰	۰/۷۱	۱۳/۵۸	۰/۱۰
۲۵-۵	۰/۷۵	۱۱/۷۸	۰/۰۹
۲۵-۲۵ (مبنا)	۰/۸۴	۲۱/۸۹	۰/۱۸
۲۵-۵۰	۰/۹۱	۹/۰۷	۰/۰۸
۲۵-۸۰	۰/۷۲	۱۸/۲۶	۰/۱۳
۵۰-۵	۱/۰۷	۱۰/۲۶	۰/۱۱
۵۰-۲۵	۱/۱۲	۱۰/۹۳	۰/۱۲
۵۰-۵۰	۱/۱۴	۱۲/۴۶	۰/۱۴
۵۰-۸۰	۰/۸۱	۱۷/۴۱	۰/۱۳
۸۰-۵	۰/۸۲	۱۱/۴۰	۰/۰۹
۸۰-۲۵	۰/۷۸	۳۴/۱۵	۰/۲۷
۸۰-۵۰	۰/۸۱	۱۴/۷۳	۰/۱۲
۸۰-۸۰	۰/۶۸	۱۹/۳۴	۰/۱۳



شکل ۷. نمودار تغییرات میانگین مقادیر چسبندگی POT برای بسترهایی با دمای مختلف در برابر تغییرات دمای اپوکسی

جدول ۶ درصد تغییرات مقاومت چسبندگی POT گروه‌های مختلف نسبت به نمونه مبنا (۲۵-۲۵)
(دمای اپوکسی - دمای بستر)

نمونه	۵-۵	۵-۲۵	۵-۵۰	۵-۸۰	۲۵-۵	۲۵-۲۵	۲۵-۵۰	۲۵-۸۰
درصد اختلاف مقاومت	-۱۶/۴۱	-۱۳/۰۵	-۷/۷۰	-۱۵/۸۹	-۱۱/۲۷	-	۸/۴۲	-۱۴/۶۹
نمونه	۵۰-۵	۵۰-۲۵	۵۰-۵۰	۵۰-۸۰	۸۰-۵	۸۰-۲۵	۸۰-۵۰	۸۰-۸۰
درصد اختلاف مقاومت	۲۶/۷۹	۳۲/۹۳	۳۵/۹۸	-۲/۵۶	-۲/۸۵	-۶/۶۹	-۳/۷۴	-۱۸/۵۰

کاهش مقاومت TOT برای نمونه‌های GFRP نصب شده بر روی سطوح با دمای ۵ درجه سانتی گراد، پس از استفاده از اپوکسی با دماهای ۵، ۲۵، ۵۰ و ۸۰ درجه سانتی گراد به ترتیب، برابر ۱۲، ۱۳، ۳ و ۱۵ درصد است. این نتیجه‌ها نشان می‌دهد، برای بسترهایی با دمای پایین‌تر از دمای ۲۵ درجه سانتی گراد (دمایی محیطی پایین‌تر از محیط استاندارد آزمایشگاهی)، با پیش گرمایش اپوکسی می‌توان تا حدی اثر منفی دمای سطح بستر را جبران کرد. در صورتی که حرارت اعمالی به اپوکسی، بیشتر از میزان T_g آن باشد، به دلیل ایجاد اثرات منفی بر روی اپوکسی مانند کاهش ظرفیت باربری و سختی، مقاومت چسبندگی کاهش خواهد یافت. همچنین، جدول (۷) نشان می‌دهد که در دمای سطحی ۲۵ و ۵۰ درجه سانتی گراد، افزایش دمای اپوکسی تا ۵۰ درجه سانتی گراد موجب افزایش میزان چسبندگی می‌شود. از سوی دیگر، نصب GFRP در دمای ۸۰ درجه سانتی گراد سبب کاهش مقاومت و عملکرد آن می‌شود. در این حالت، بسته به دمای

شکل (۷) تغییرات مقاومت POT را با در نظر گرفتن دمای اپوکسی نشان می‌دهد. در این شکل، هر منحنی مربوط به یک دمای سطح بستر مشخص است و محور افقی و قائم به ترتیب، نشان‌دهنده دمای اپوکسی در زمان نصب GFRP و مقاومت چسبندگی POT بر حسب مگاپاسکال است.

در جدول (۶)، تغییرات مقاومت POT نمونه‌های مختلف نسبت به نمونه مبنا را می‌توان مشاهده کرد. بیشترین افزایش و کاهش میزان مقاومت چسبندگی، برابر با ۳۵/۹۸ و ۱۸/۵۱ درصد می‌باشد که به ترتیب، مربوط به نمونه‌های ۵۰-۵۰ و ۸۰-۸۰ است.

مقاومت چسبندگی TOT

نتیجه‌های TOT در جدول (۷) و شکل (۸) آمده است. مشابه نتیجه‌های POT، این مقادیر براساس میانگین ۹ آزمایش TOT گزارش شده است. همان‌گونه که در جدول (۷) قابل مشاهده است،

موضوع، هم خوان با نتیجه های گزارش شده پیشین است [34]. البته باید توجه داشت که جنس و توزیع تنش اعمالی به سطح تماس در دو روش با هم متفاوت است.

شایان ذکر است، مدل های ریاضی برای دو روش POT و TOT و براساس نتیجه های به دست آمده از این پژوهش ارائه شده است. در این روابط، دمای سطح بستر و هم چنین دمای چسب اپوکسی در هنگام استفاده به عنوان متغیرهای مستقل و مقادیر POT و TOT به عنوان متغیرهای وابسته در نظر گرفته شده است. برپایه تحلیل های درونیابی، رابطه های (۳) و (۴)، به ترتیب، روابط پیشنهادی برای پیش بینی مقادیر مقاومت POT و TOT با در نظر گرفتن دمای سطح بستر و اپوکسی است.

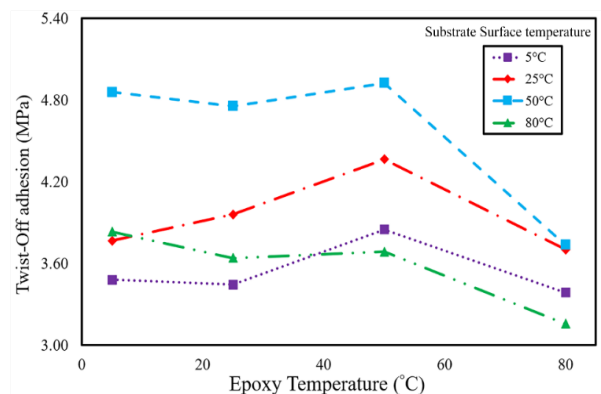
$$f_p = 0.74T_s^{0.6}T_E^{-0.026} \quad (3)$$

$$f_t = 3.72T_s^{0.038}T_E^{-0.023} \quad (4)$$

لازم به ذکر است، در رابطه های بالا T_s و T_E ، به ترتیب، نشان دهنده دمای بستر و اپوکسی در هنگام نصب می باشد. به منظور ارزیابی میزان خطای روابط پیشنهادی و مقادیر آزمایشگاهی از چهار روش مختلف میانگین مربع خطاها (RSME)، میانگین خطای مطلق (MAE)، خطای مطلق تجمعی (IAE) و ضریب تعیین (R-Squared) استفاده شد. مقادیر RSME، MAE، IAE و R-Squared به ترتیب، برای POT، ۰/۳۸۲، ۰/۰۲۱، ۰/۱۳۱ و ۰/۹۸۵ می باشد در حالی که این مقادیر برای TOT، به ترتیب، ۰/۳۴۶، ۰/۰۱۵، ۰/۱۰۴ و ۰/۹۷۴ به دست آمد. هم چنین نتیجه انجام درونیابی غیرخطی بین داده های این دو آزمایش نشان از وجود یک رابطه نمایی بین آنها دارد که در شکل (۱۰) آورده شده است.

اپوکسی در زمان استفاده، مقاومت TOT بین ۳ تا ۲۰ درصد نسبت به شرایط محیطی آزمایشگاه کاهش می یابد.

شکل (۸)، تغییرات مقاومت TOT را با در نظر گرفتن دمای اپوکسی نشان می دهد. در این شکل، محور افقی نشان دهنده دمای اپوکسی و محور عمودی نشان دهنده میزان مقاومت چسبندگی TOT است.



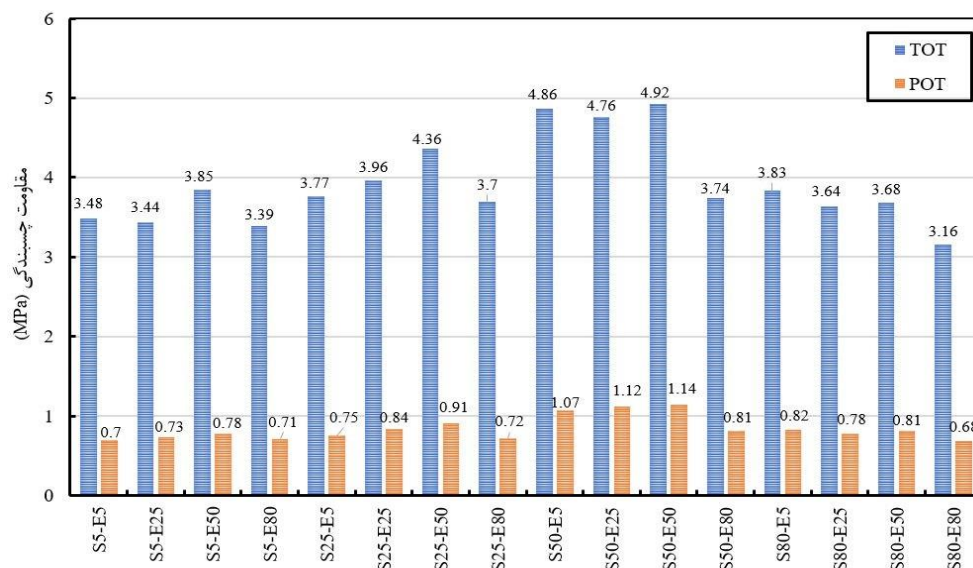
شکل ۸. نمودار تغییرات میانگین مقادیر چسبندگی TOT برای بسترهایی با دمای مختلف در برابر تغییرات دمای اپوکسی

درصد تغییرات مقاومت TOT گروه های مختلف، نسبت به نمونه مبنا در جدول (۸) نشان داده شده است. براساس نتیجه های این جدول، بیشترین افزایش اختلاف چسبندگی مربوط به نمونه ۵۰-۵۰ است که مقاومت چسبندگی ۲۴ درصد افزایش یافته است. این در حالی است که نمونه ۸۰-۸۰ بیش از ۲۰ درصد افت مقاومت چسبندگی را تجربه کرده است و بیشترین کاهش مقاومت را نسبت به نمونه مبنا داشته است.

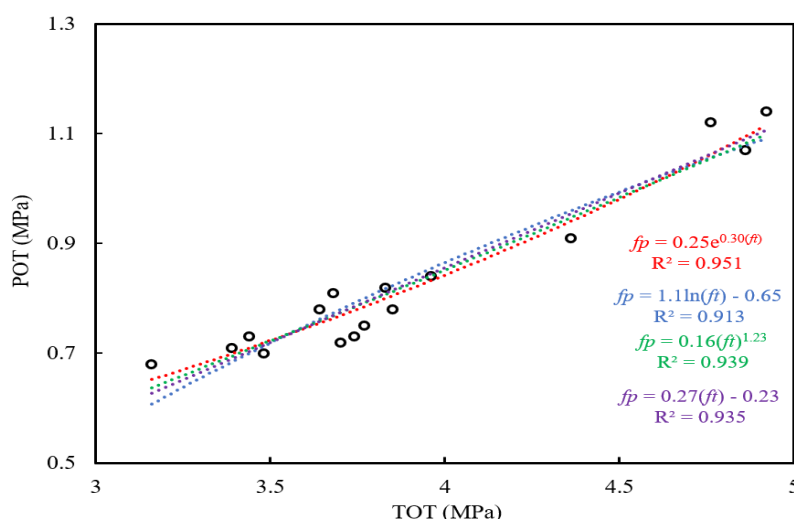
با مقایسه نتیجه های به دست آمده از دو روش POT و TOT و همان طور که در شکل (۹) مشاهده می شود، TOT مقادیر بیشتری را برای مقاومت چسبندگی نشان می دهد که این

جدول ۸. درصد تغییرات مقاومت چسبندگی TOT گروه های مختلف نسبت به نمونه مبنا (۲۵-۲۵) (دمای اپوکسی - دمای بستر)

نمونه	۵-۵	۵-۲۵	۵-۵۰	۵-۸۰	۲۵-۵	۲۵-۲۵	۲۵-۵۰	۲۵-۸۰
اختلاف مقاومت	-۱۲/۱۱	-۱۳/۰۲	-۲۷/۹	-۱۴/۴۹	-۴/۹۰	-	۱۰/۲۱	-۶/۴۹
نمونه	۵۰-۵	۵۰-۲۵	۵۰-۵۰	۵۰-۸۰	۸۰-۵	۸۰-۲۵	۸۰-۵۰	۸۰-۸۰
اختلاف مقاومت	۲۲/۶۹	۲۰/۰۹	۲۴/۳۳	-۵/۶۴	-۳/۲۱	-۸/۰۸	-۶/۹۵	-۲۰/۲۹



شکل ۹ مقایسه مقاومت چسبندگی بین دو روش TOT و POT



شکل ۱۰ رابطه مقاومت چسبندگی بین دو روش TOT و POT

گونه‌های گسیختگی

نتیجه‌های POT و TOT نشان داد، دمای سطح بستر و اپوکسی علاوه بر تأثیر بر روی مقاومت چسبندگی می‌تواند بر روی گونه‌های شکست نیز اثرگذار باشد. به‌طور کلی، در این پژوهش، سه گونه شکست زیر هنگام انجام آزمایش‌ها مشاهده شد:

۱. شکست پیوستگی بستر سیمانی (گونه G)

۲. شکست سطح تماس (گونه E)

۳. شکست ترکیبی (گونه F)

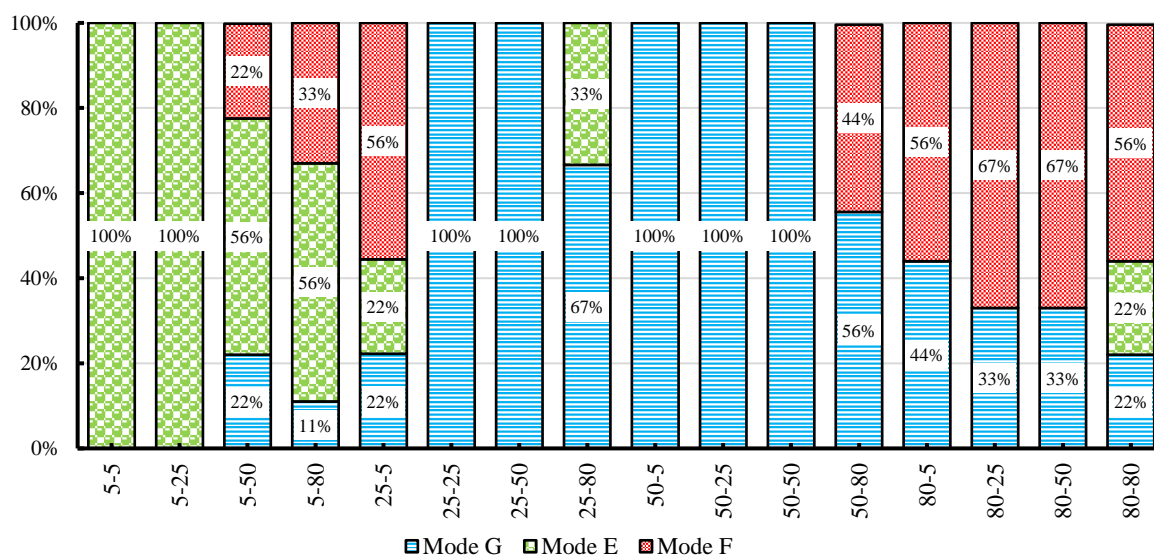
که در شکل (۱۱) نشان داده شده‌است.

شکل‌های (۱۲) و (۱۳) به‌ترتیب، درصد گونه‌های شکست

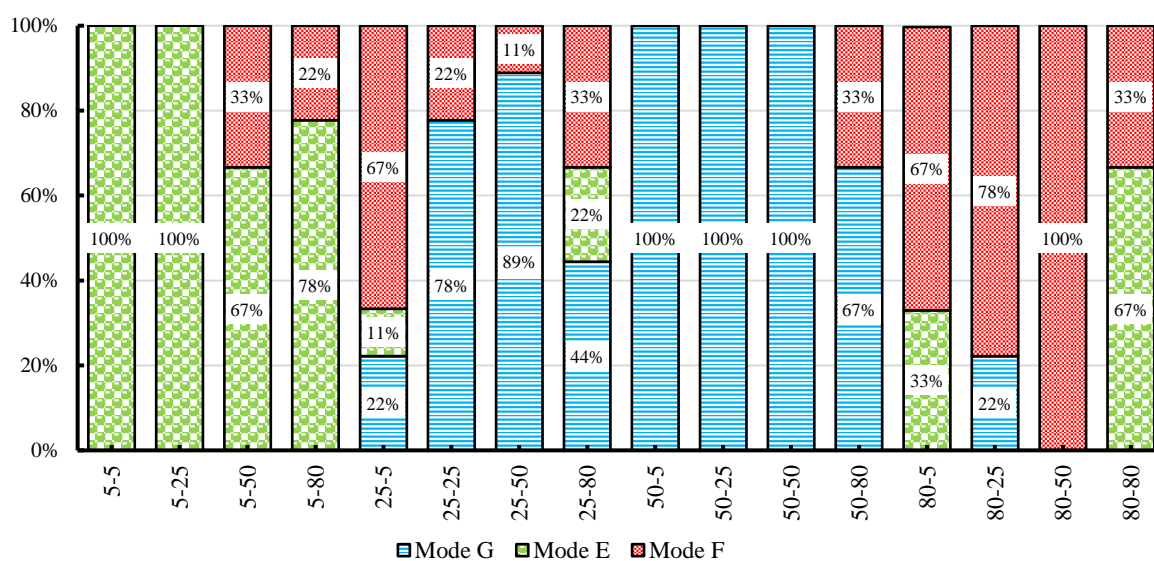
مشاهده‌شده را برای POT و TOT نشان می‌دهد. همان‌طور که در این شکل‌ها مشاهده می‌شود، با افزایش دمای سطح بستر از ۵ به ۵۰ درجه سانتی‌گراد، درصد گونه‌های شکست نوع G افزایش یافته‌است. یادآور می‌شود، گونه شکست G، بیانگر شکست مطلوب سیستم FRP می‌باشد. با افزایش دمای سطح بستر به فراتر از T_g اپوکسی، درصد گونه‌های شکست نوع E و F افزایش یافته‌است. همچنین با مقایسه شکل‌های (۱۲) و (۱۳) می‌توان به این نکته اشاره کرد که درصد گونه‌های شکست از نوع F برای TOT بیشتر از POT می‌باشد.



شکل ۱۱ انواع شکل گونه‌های شکست: (الف) بستر سیمانی (G)، (ب) سطح تماس (E) و (پ) ترکیبی (F)



شکل ۱۲ درصد گونه‌های شکست نمونه‌های مختلف در POT



شکل ۱۳ درصد گونه‌های شکست نمونه‌های مختلف در TOT

جدول ۹ نتایج آزمون ANOVA بر روی مقاومت چسبندگی POT و TOT

سطح معناداری		میانگین مربعات		درجه آزادی	مجموع مربعات		اثر
TOT	POT	TOT	POT		TOT	POT	
۰/۰۰۰	۰/۰۰۰	۷/۳۴۷	۰/۵۵۱	۳	۲۲/۰۴۲	۱/۶۵۲	دمای بستر (T_s)
۰/۰۰۰	۰/۰۰۰	۳/۴۷۵	۰/۲۶۱	۳	۱۰/۴۲۵	۰/۷۸۴	دمای اپوکسی (T_E)
۰/۰۰۰	۰/۰۰۰	۱۴۱/۶۷۴	۶/۳۶۵	۱۶	۲۲۶۶/۷۸۱	۱۰۱/۸۳۳	برهم کنش دو گانه دمای بستر و اپوکسی ($T_s \times T_E$)

تجزیه و تحلیل آماری

بر اساس نتایج آزمون ANOVA و سطوح معناداری به دست آمده در جدول (۹)، می توان به این نکته اشاره کرد که دمای سطح بستر، دمای چسب اپوکسی و همچنین برهم کنش آن ها بر روی مقادیر چسبندگی POT و TOT تأثیر معنی داری دارند. شایان ذکر است، نتایج این بخش منطبق با نتایج ایمانی جاجرمی و همکاران [20] است.

نتیجه گیری

در پژوهش حاضر، اثر دمای سطح بستر و اپوکسی در هنگام نصب ورق های GFRP بر روی مقاومت چسبندگی با استفاده از دو آزمون POT و TOT مورد بررسی قرار گرفته است. در ادامه به مهم ترین نتیجه های به دست آمده بر پایه نمونه های بررسی شده اشاره می شود:

۱. کاهش دمای سطحی بستر از ۲۵ به ۵ درجه سانتی گراد، موجب افت ۸ تا ۱۶ درصدی مقاومت چسبندگی POT و افت ۳ تا ۱۴ درصدی مقاومت چسبندگی TOT می شود.
۲. نصب ورق های GFRP بر روی بستری با دمای بستر بالا (۵۰ درجه سانتی گراد) به دلیل افزایش نرخ عمل آوری و ویژگی های اپوکسی، موجب افزایش ۳۳ و ۲۰ درصدی مقاومت چسبندگی POT و TOT می شود. افزایش بیشتر دما سبب کاهش چسبندگی می شود، به طوری که برای نمونه های با دمای بستر ۸۰ درجه سانتی گراد، میزان کاهش مقاومت چسبندگی برای دو روش POT و TOT به ترتیب، ۷ و ۸ درصد بود.

۳. برای بستری با دمای کمتر از دمای استاندارد آزمایشگاهی، با افزایش دمای چسب تا کمتر از T_g اپوکسی، می توان اثر منفی دمای پایین سطح بستر را تا حدی جبران کرد.
۴. نتیجه های دو روش POT و TOT نشان داد، برای بستری با دمای نزدیک به T_g اپوکسی، گرم کردن اپوکسی تا دمای ۵۰ درجه سانتی گراد به دلیل افزایش ویژگی های مکانیکی، سبب افزایش مقاومت سامانه تقویتی GFRP می شود.
۵. برای بستری که دمای سطحی بیشتری از T_g اپوکسی دارد، کاربرد اپوکسی با دمای پایین تر در هنگام نصب، می تواند در عملکرد سامانه تقویتی GFRP تأثیر مثبت داشته باشد. مقاومت چسبندگی بستر ۸۰ درجه سانتی گراد، هنگامی که از چسب ۵ درجه سانتی گراد به جای چسب ۲۵ درجه سانتی گراد استفاده شود، ۵ درصد افزایش نشان می دهد.
۶. با استفاده از تحلیل های آماری و درونیابی خطی و بر پایه نتیجه های آزمایشگاهی گزارش شده در این پژوهش، روابطی به منظور پیش بینی میزان چسبندگی POT و TOT ارائه شد.
۷. بر اساس نتیجه های آزمایشگاهی و تحلیل درونیابی غیرخطی انجام شده، وجود یک رابطه نمایی بین دو روش POT و TOT تأیید شد.
۸. باتوجه به بستر، پارچه الیافی شیشه ای، اپوکسی و بازه دمایی مورد بررسی در این پژوهش، سه گونه شکست مشاهده شد.
۹. دمای بستر نزدیک به ۵۰ درجه سانتی گراد، گونه شکست G (گونه قابل قبول).
۱۰. دمای فراتر از T_g اپوکسی، افزایش گونه های شکست E و F (افت در عملکرد چسبندگی اپوکسی به بستر).

فردوسی مشهد به عنوان بخشی از طرح شماره ۵۲۰۰۸ انجام گرفته است. نویسندگان از همکاری های پرسنل آزمایشگاه سازه گروه مهندسی عمران دانشگاه فردوسی مشهد و مؤسسه تحقیقاتی پرتا ووس کمال تشکر را دارند.

۱۱. نتایج تحلیل آماری ANOVA نشان داد که دمای سطح بستر و اپوکسی، دو عامل تأثیرگذار بر مقاومت چسبندگی سیستم های FRP می باشد.

سپاسگزاری

این پژوهش با حمایت معاونت پژوهشی و فناوری دانشگاه

مراجع

1. Saadatmanesh, H., and Malek, A. M., "Design Guidelines for Flexural Strengthening of RC Beams with FRP Plates", *Journal of Composites for Construction*, Vol. 2, No. 4, pp. 158-164, (1998).
2. Mostofinejad, D., and Hosseini, S. J., "Simulating FRP Debonding from Concrete Surface in FRP Strengthened RC Beams: A Case Study", *Scientia Iranica, International Journal of Science and Technology, Transactions A, Civil Engineering*, Vol. 24, No. 2, pp. 452-456, (2017).
3. Khorasani, A. M., Esfahani, M. R., and Sabzi, J., "The Effect of Transverse and Flexural Reinforcement on Deflection and Cracking of GFRP Bar Reinforced Concrete Beams", *Composites Part B: Engineering*, Vol. 161, No. 3, pp. 530-546, (2019).
4. Blackburn, BP., Tatar, J., Douglas, EP., and Hamilton, HR., "Effects of Hygrothermal Conditioning on Epoxy Adhesives Used in FRP Composites", *Construction and Building Materials*, Vol. 96, No. 10, pp. 679-689, (2015).
5. Djouani, F., Connan, C., Delamar, M., Chehimi, MM., and Benzarti, K., "Cement Paste-Epoxy Adhesive Interactions", *Construction and Building Materials*, Vol. 25, No. 2, pp. 411-423, (2011).
6. Stewart, A., "Study of Cement-Epoxy Interfaces, Accelerated Testing, and Surface Modification", PHD Dissertation, University of Florida, Gainesville, FL, (2012).
7. Chen, C., Li, X., Zhao, D., Huang, Z., Sui, L., and Xing, F., "Mechanism of Surface Preparation on FRP-Concrete Bond Performance: A Quantitative Study", *Composites Part B: Engineering*, Vol. 163, No. 4, pp. 193-206, (2019).
8. Varun, N., Sudarshan, G., Shivaraj, A., and Sridevi, G., "Rehabilitation and Retrofitting of Structural Elements Using Various Fibers", *Resilient Infrastructure*, Vol. 202, No. 1, pp. 187-193, (2022).
9. Chothe, O.K. and Agrawal, V. M., "An Experimental Investigation on Applications of Fiber-Reinforced Composites for Rehabilitation of Concrete Beams", *Resilient Infrastructure*, Vol. 202, No. 1, pp. 415-425, (2022).
10. Zhang, P., Lv, X., Zhang, H., Liu, Y., Chen, B., Gao, D., and Sheikh, SA., "Experimental Investigations of GFRP-Reinforced Columns with Composite Spiral Stirrups under Concentric Compression", *Journal of Building Engineering*, Vol. 46, No. 4, pp. 103768, (2022).
11. ACI Committee 440., "Guide for the Design and Construction of Externally Bonded FRP Systems for Strengthening Concrete Structures (ACI 440. 2R-17)", American Concrete Institute, Farmington Hills, MI, (2017).
12. AASHTO-FRPS-1., "Guide Specifications for Design of Bonded FRP Systems for Repair and Strengthening of Concrete Bridge Elements", American Association of State Highway and Transportation Officials, Washington D.C., (2010).

13. *fib* Bulletin 14., "Externally Bonded FRP Reinforcement for RC Structures. Technical Report on the Design and Use of Externally Bonded Fiber Reinforced Polymer Reinforcement (FRP EBR) for Reinforced Concrete Structures", International federation for structural concrete (*fib*), Lausanne, Switzerland, (2001).
14. Aiello, M., Frigione, D., and Acierno, D., "Effects of Environmental Conditions on Performance of Polymeric Adhesives for Restoration of Concrete Structures", *Journal of Materials in Civil Engineering*, Vol. 14, No. 2, pp. 185-189, (2002).
15. Banea, M., Silva, LFM., and Campilho, R., "Effect of Temperature on Tensile Strength and Mode I Fracture Toughness of a High Temperature Epoxy Adhesive", *Journal of Adhesion Science and Technology*, Vol. 26, No. 7, pp. 939-953, (2012).
16. Nguyen, T., Bai, Y., Zhao, X., and Al-Mahaidi, R., "Mechanical Characterization of Steel/CFRP Double Strap Joints at Elevated Temperature", *Composite Structure*, Vol. 93, No. 6, pp. 1604-1612, (2011).
17. Leone, M., Matthys, S., and Aiello, MA., "Effect of Elevated Service Temperature on Bond between FRP EBR Systems and Concrete", *Composites Part B*, Vol. 40, No. 1, pp. 85-93, (2009).
18. Blontrock, H., Taerwe, L., and Vanwalleghem, H., "Bond Testing of Externally Glued FRP Laminates at Elevated Temperature", international conference on bond in concrete-from research to standard, Budapest, Hungary, (2002).
19. Attari, B., and Tavakkolizadeh, M., "An Experimental Investigation on Effect of Elevated Temperatures on Bond Strength between Externally Bonded CFRP and Concrete", *Steel and Composite Structures*, Vol. 32, No. 5, pp. 559-569, (2019).
20. Imani Jajarmi, P., Tavakkolizadeh, MR., and Youssefi, A., "Effect of Temperature and Moisture on the Bond Strength between FRP Laminates and Cement-Based Mortar Substrates", *Structural Concrete*, Vol. 22, No. 6, pp. 1-23, (2022).
21. Myers, J., and Ekenel, M., "Effect of Environmental Conditions on Bond Strength between CFRP Laminate and Concrete Substrate", Center for Infrastructure Engineering Studies (CIES), *Special Publication*, Vol. 230, No. 1, pp. 1571-1592, (2005).
22. Al-Shawaf, A., Al-Mahaidi, R., and Zhao, X., "Study on Bond Characteristics of CFRP/Steel Double Lap Shear Joints at Subzero Temperature Exposure", 3rd international conference on FRP composites in civil engineering (CICE), Miami, FL, (2006).
23. Kim, Y., Hossain, M., and Yoshitake, I., "Cold Region Durability of a Two-Part Epoxy Adhesive in Double-Lap Shear Goints: Experiment and Model Development", *Journal of Construction and Building Materials*, Vol. 36, No. 11, pp. 295-304, (2012).
24. Malhotra, V.M., and Carino, N.J., "Non-Destructive Testing of Concrete", Boca Raton, New York, Washington D.C. 2nd Edition, CRC Press LLC, (2004).
25. ASTM Standard D4541-17., "Standard Test Method for Pull-Off Strength of Coatings Using Portable Adhesion Testers, West Conshohocken, PA, (2017).
26. ASTM Standard D7522-15., "Standard Test Method for Pull-Off Strength for FRP Laminate Systems Bonded to Concrete Substrate, West Conshohocken, PA, (2015).
27. ASTM Standard D7234-19., "Standard Test Method for Pull-Off Adhesion Strength of

- Coatings on Concrete Using Portable Pull-Off Adhesion Testers", West Conshohocken, PA, (2019).
28. CNR-DT 200., "Guide for the Design and Construction of Externally Bonded FRP Systems for Strengthening Existing Structures", National Research Council, Italy, (2004).
 29. BS EN 1542., "Products and Systems for the Protection and Repair of Concrete Structures. Test Methods. Measurement of Bond Strength by Pull-Off", British Standard Institution, (1999).
 30. Naderi, M., "New Twist-Off Method for the Evaluation of In-Situ Strength of Concrete", *Journal of Testing and Evaluation*, Vol. 35, No. 6, pp. 602-608, (2007).
 31. Shrestha, J., Ueda, T., and Zhang, D., "Durability of FRP Concrete Bonds and its Constituent Properties under the Influence of Moisture Conditions", *Journal of Materials in Civil Engineering*, Vol. 27, No. 2, pp. 201-215, (2015).
 32. Ouyang, Z., and Wan, B., "Experimental and Numerical Study of Water Effect on Bond between FRP and Concrete in Moist Environments", *Journal of Reinforced Plastics and Composites*, Vol. 27, No. 2, pp. 205-223, (2008).
 33. Carbas, RJC., Marques, EAS., Da Silva, LFM. and Lopes, AM., "Effect of Cure Temperature on the Glass Transition Temperature and Mechanical Properties of Epoxy Adhesives", *The Journal of Adhesion*, Vol. 90, No. 1, pp. 104-119, (2014).
 34. Ekenel, M., Myers, J. and Khataukar, A., "Effect of Environmental Conditions During Installation Process on Bond Strength between CFRP Laminate and Concrete Substrate", *3rd international conference composites in construction, Lyon, France*, (2005).

